

1. まえがき

最近の鉄道橋においては、鉄桁より騒音が低いことや、一般に中程度のスパンで経済的である等のために、PC桁の使用が多くなっている。しかし、図-1に示すような中間橋脚を用いて線路直上を渡る場合等、鉄桁で容易に行われた桁端部の切欠きがPC桁では從来行われていない。この部分に、せん断に対する補強のため鋼柾を併用してこれを可能にする形式は種々考えられるが、今回はI形鋼を埋込み、隅角部のひびわれ防止のためにPC鋼棒で補強兼めする形式をとり、そのFEM解析を行ったので結果を報告する。

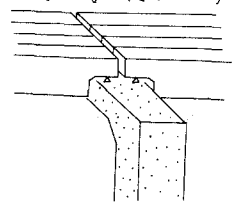


图-1 线路直上桥脚

2. 解析方法

図-2は対象杭の端部附近の概略を示したものである。解析の対象は主としてゲルバーハンジ部分であるが、最も簡明なモデルとして杭のスパン中心までを取り出した。コンクリートおよび鋼材には平面応力要素を使用し、コンクリート

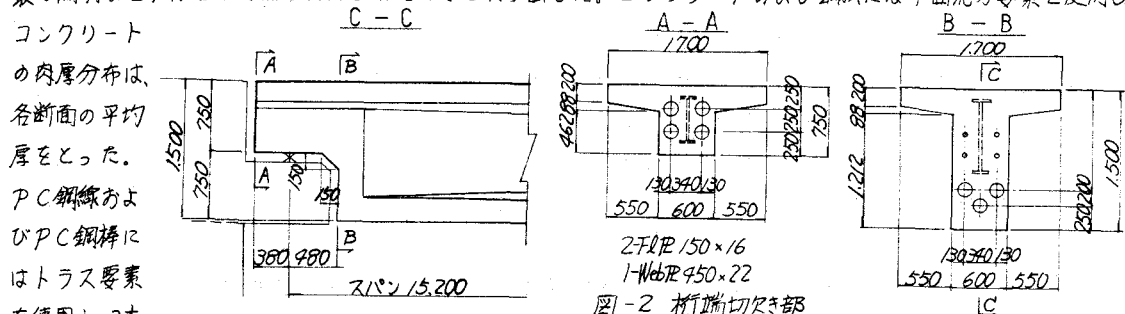


图-2 桥端切欠部

材 料	ヤンク率 Kg/cm^2	ヤンク率 ホアン比	有効面積単位 (mm^2)	単位面積重さ (Kg/mm^2)	剪断弹性係数 (Kg/mm^2)	剪断剛度 (Kg/mm^2)
コンクリート ($\sigma_{ck}=4400/8/cm^2$)	3500	0.16	—	2.5×10^{-3}	1.51×10^8	
鋼材 (SS41)	21,000	0.33	—	7.85×10^{-3}	7.9×10^8	
PC鋼線 (12φ8)	20,000	0.33	603.2			58
PC鋼棒 (φ32)	20,000	0.33	789.3			66

表-1 材料定数等

条件 CASE	主ケーブル荷重		鉄骨	部分緊張		備考
	アスルス等分布	自重		90°	60°	
1	68t x 7.11t/m	2.5t _{自重}	有			
2	68t x 7.11t/m	2.5t _{自重}	有	52t x 2		
3	68t x 7.11t/m	2.5t _{自重}	有		52t x 2	
4	68t x 7.11t/m	2.5t _{自重}	有	52t x 2	52t x 2	
5	68t x 7.11t/m	2.5t _{自重}		52t x 2	52t x 2	
6	68t x 7.11t/m	2.5t _{自重}	有	52t x 2	52t x 2	クリープ乾燥

表-7 檢討ケ-7

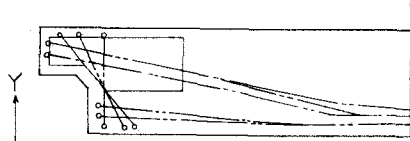
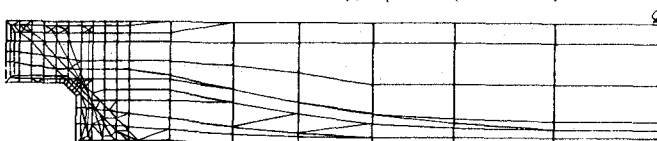


図-3 構造モデルおよびエレメント

ラムは、国鉄構造物設計事務所で開発したSTAPS-5である。

最後にコンクリート中に埋込んだ鋼断面とコンクリートのクリース、乾燥収縮によりプレストレスに及ぼす影響の検討も試みた。これは本来塑性アロクラムを用いて行うのが妥当であるが、経済的、技術的に困難が多いので、便宜的に弾性解析アロクラムを使用した。即ち、コンクリートのクリース、乾燥収縮に相当する歪を逆に鋼の熱膨張に置換し、コンクリート中で抵抗させた状態で解析した。この時用いたコンクリートクリープ係数 $\phi=2.0$ 、乾燥収縮度 $E_c=1.5 \times 10^{-5}$ である。なお、クリープについては先の解析で求めた死荷重載荷時の垂直応力及びのX方向及びY方向の温度変化に換算して利用した。また乾燥収縮に相当する温度変化は、X方向、Y方向ともに同一の値を全エレメントに与えた。

3. 結果と考察

1.) 補強筋めを全くしないCase1の主応力分布を図-4に示す。この状態では、下側隅角部B点に45kg/cm²の引張応力が発生し、橋脚方向に近い角度にひびわれが出来ることを予想される。A点よりもB点が危険になるのは、下側主ケーブルの影響によるものである。また、隅角部から腹部にかけて、一般のPC桁で常限されている筋め引張応力が存在している。従て、隅角部の補強が必要である。

2.) 図-5は隅角部補強用のPC鋼棒を90°、60°及び両者を組合せた場合の解析結果から、隅角部附近について、被り2.5cm位置の主応力をプロットしたものである。これよりCase2(90°のみ)ではかなりB点の補強はなされるものの、A点、B点の応力が極端に不均衡であり、Case3(60°のみ)ではB点の補強効果がかなりよい。B点の近くで両鋼棒を交差させたCase4が最もよく、その効果は各々の効果を累加したものよりもよい結果となっている。これより鋼棒の配置は、B点に近く、しかもプレストレスの合力方向がB点から発生すると予想されるひびわれと直交するようにするかよいと考えられる。

3.) Case5は、Case4から鋼を廃除した場合であるが、鋼がプレストレスの導入を阻害しないため隅角部での圧縮主応力として約10~20%増加している。

4.) 今回の解析に先立ち、隅角部補強の鋼材量をひびわれ荷重より算定したが、解析結果で見る限りかなり余裕があると考えられる。

5.) 隅角部には、設計荷重載荷時に約10kg/cm²程度の圧縮力を残すのかよいと言われており、今回想定したPC鋼材量は過剰のように思える。しかし、長期的にコンクリートのクリープ、乾燥収縮が起った場合を考えると、コンクリート中に埋込んだ鋼がこれに抵抗して、当初導入したプレストレスを減少させることも見込んでおく必要がある。そこで、前述の方法でCase4について検討した結果、隅角部附近には、圧縮応力が残るものかなりのプレストレス損失があるので鋼材量の削減は見込めないと判断した。しかし、この解析の際想定した条件は单纯化のために、弾性係数比を全期にわたって一率に $n=6$ と仮定している等かなり安全側に見積った傾向があり、この点更に検討を進めたい。

4. おわりに

今回のFE分析により、PC桁ケルバーハンサ部に鋼工形断面を埋込んだ場合の挙動と補強方法に関する一定の方針を得た。今後、これを実験的に確かめることも予定している。また、鋼を使用した端部切欠きPC桁の構造として他に種々考えられており、今後これを進めて行きたい。なお、端部を裸の鉄骨で作り、PC桁と結合する方法も検討中である。おわりにあたり、本解析のご指導をいただいた構造物設計事務所次長阿部英彦氏、主任技術者鶴谷良氏、また、多大な協力をいただけた井口光雄氏に謝意を表します。

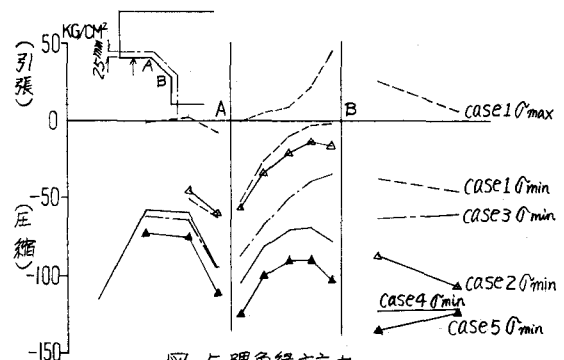
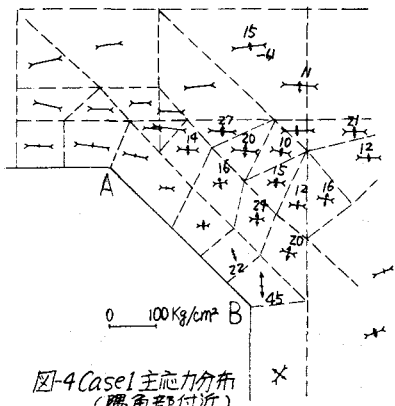


図-5 隅角縁主応力

-150

0

50

-50

0

-100

-200

-300

-400

-500

-600

-700

-800

-900

-1000

-1100

-1200

-1300

-1400

-1500

-1600

-1700

-1800

-1900

-2000

-2100

-2200

-2300

-2400

-2500

-2600

-2700

-2800

-2900

-3000

-3100

-3200

-3300

-3400

-3500

-3600

-3700

-3800

-3900

-4000

-4100

-4200

-4300

-4400

-4500

-4600

-4700

-4800

-4900

-5000

-5100

-5200

-5300

-5400

-5500

-5600

-5700

-5800

-5900

-6000

-6100

-6200

-6300

-6400

-6500

-6600

-6700

-6800

-6900

-7000

-7100

-7200

-7300

-7400

-7500

-7600

-7700

-7800

-7900

-8000

-8100

-8200

-8300

-8400

-8500

-8600

-8700

-8800

-8900

-9000

-9100

-9200

-9300

-9400

-9500

-9600

-9700

-9800

-9900

-10000

-10100

-10200

-10300

-10400

-10500

-10600

-10700

-10800

-10900

-11000

-11100

-11200

-11300

-11400

-11500

-11600

-11700

-11800

-11900

-12000

-12100

-12200

-12300

-12400

-12500

-12600

-12700

-12800

-12900

-13000

-13100

-13200

-13300

-13400

-13500

-13600

-13700

-13800

-13900

-14000

-14100

-14200

-14300

-14400

-14500

-14600

-14700

-14800

-14900

-15000

-15100

-15200

-15300

-15400

-15500

-15600

-15700

-15800

-15900

-16000

-16100

-16200

-16300

-16400

-16500

-16600

-16700

-16800

-16900

-17000

-17100

-17200

-17300

-17400

-17500

-17600

-17700

-17800

-17900

-18000

-18100

-18200

-18300

-18400

-18500

-18600

-18700

-18800

-18900

-19000

-19100

-19200

-19300

-19400

-19500

-19600

-19700

-19800

-19900

-20000